

ANEXO I: FIGURAS DE LA REVISIÓN BIBLIOGRÁFICA

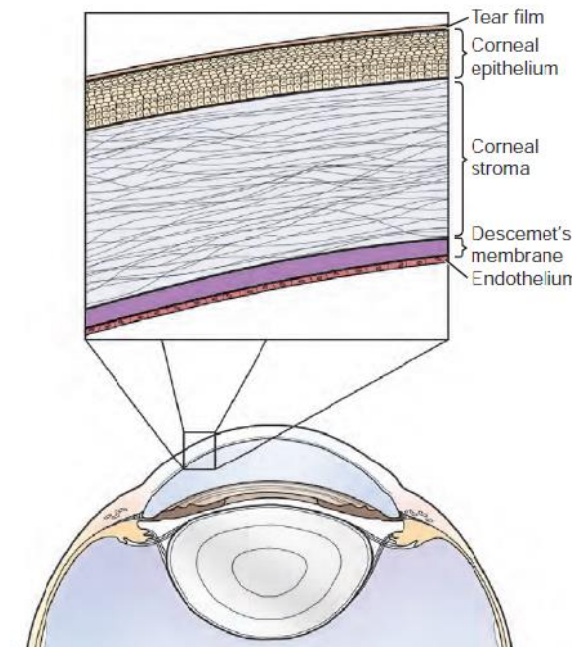


Fig. I.1. Ilustración de las diferentes capas de la córnea (Clode et al., 2011)



Fig. I.4. Absceso estromal profundo que ha alcanzado la cámara anterior. Presenta neovascularización, miosis extrema, iritis y células inflamatorias y proteínas en la cámara anterior (Clode et al., 2011).



Fig. I.2. Tinción con fluoresceína de una úlcera corneal superficial (Clode et al., 2011)



Fig. I.5. Queratomicosis subepitelial de patrón punteado (Brooks, 2010).



Fig. I.3. Desbridamiento con fresa de diamante (Lassaline-Utter et al., 2014)



Fig. I.6. Colgajo conjuntival pediculado (Clode et al., 2011)

ANEXO II: FIGURAS DE LOS CASOS CLÍNICOS

Caso 1: Úlcera indolente

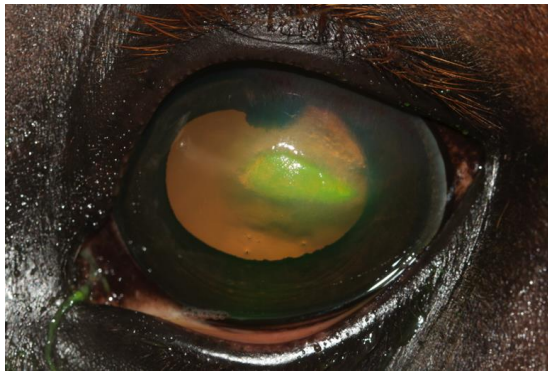


Fig. II.1. Aspecto inicial.



Fig. II.2. Aspecto tras el primer desbridamiento.

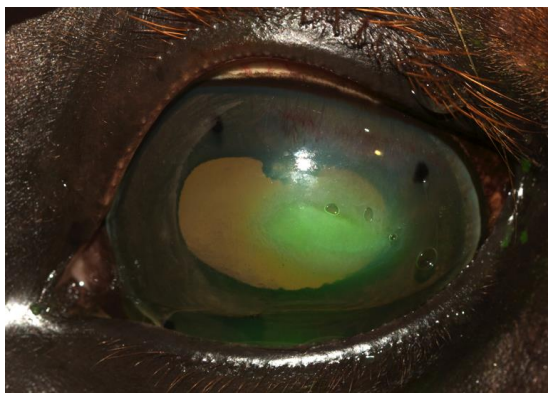


Fig. II.3. Aspecto con la lentilla blanda de contacto.

Caso 2: Úlcera herpética



Fig. II.4. Tinción con fluoresceína negativa.

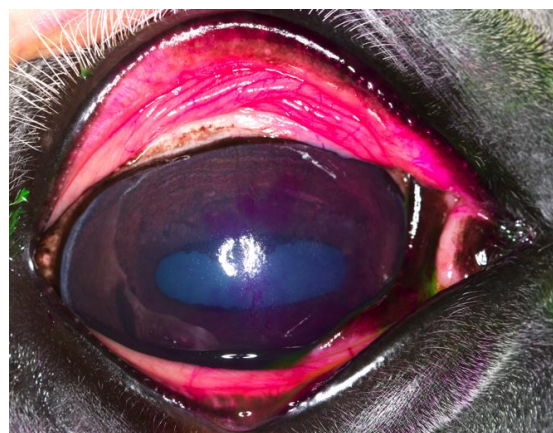


Fig. II.5. Tinción con rosa Bengala. Lesiones superficiales puntiformes y dendríticas.

Caso 3: Úlcera *melting*

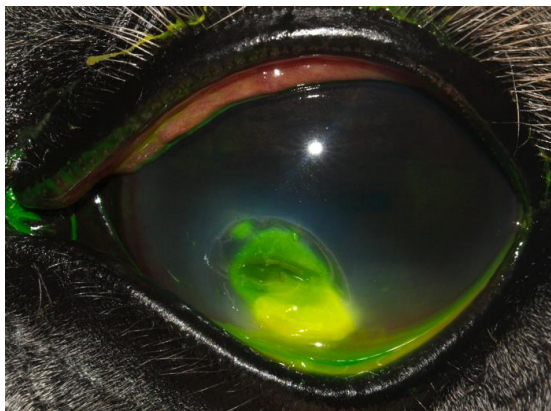


Fig. II.6. Aspecto inicial. Úlcera estromal profunda con queratomalacia en zona inferior y uveítis refleja (miosis, hipopion, neovascularización).



Fig. II.9. Día 19.

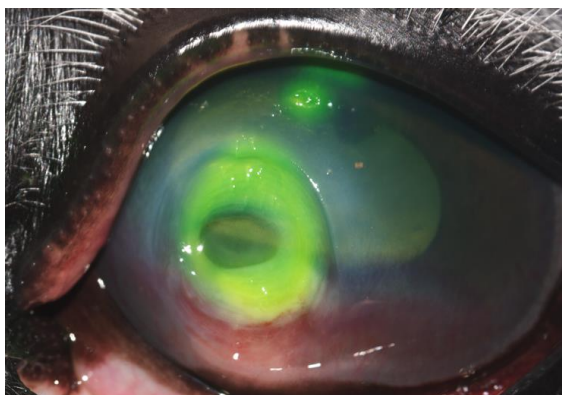


Fig. II.7. Día 5.



Fig. II.10. Día 49. Úlcera cicatrizada con pigmentación en zona inferior.

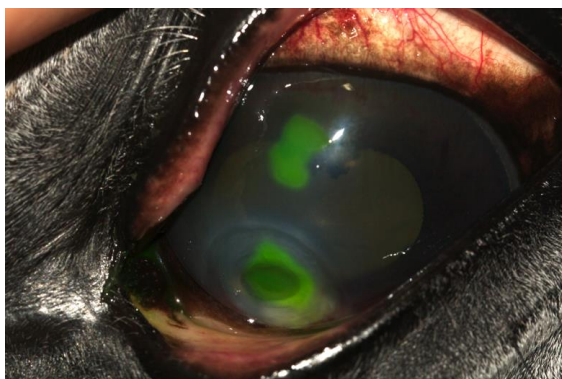


Fig. II.8. Día 7.

Caso 4: Úlcera fúngica



Fig. II.11. Aspecto inicial. Placa fúngica blanquecina con descemetocele en zona superior y uveítis refleja.



Fig. II.12. Tras primera queratectomía.



Fig. II.13. Colocación de membrana amniótica.

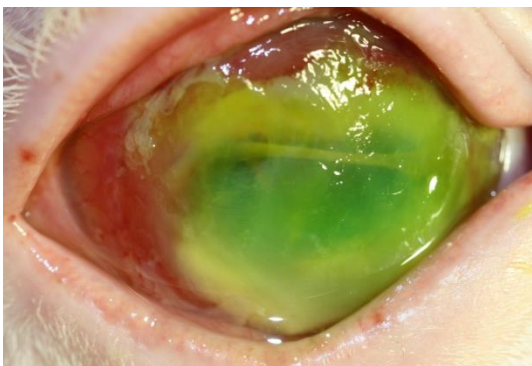


Fig. II.14. Día 11.

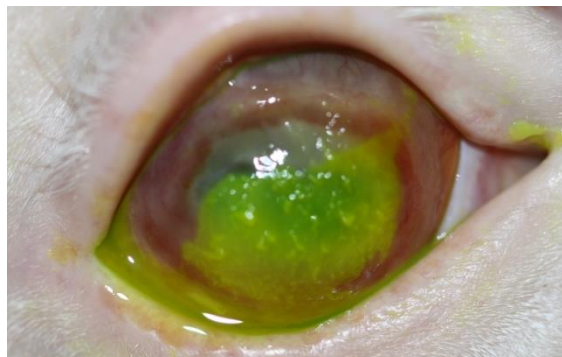


Fig. II.15. Día 19. Intensa inflamación ocular y presencia de borde epitelial desprendido.



Fig. II.16. Día 31 antes del desbridamiento.



Fig. II.17. Día 31 después del desbridamiento.



Fig. II.18. Día 42. Úlcera cicatrizada.

Caso 5: Perforación corneal y prolapo de iris

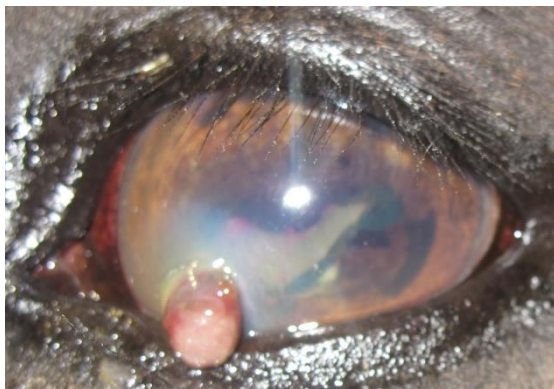


Fig. II.19. Aspecto inicial.



Fig. II.20. Prolapo de iris resuelto en la cirugía.



Fig. II.21. Colocación de prótesis tras enucleación.